

# VERTIKALNE BAZE U TERESTIČKOJ FOTOGRAMETRIJI\*

Krunoslav ŠMIT — Zagreb

Potreba za primjenu vertikalnih baza.

U uskim ulicama s relativno visokim zgradama, kao što je to obično slučaj u starim gradskim jezgrima, nailazi se na poteškoće u snimanju i kartiranju gornjeg dijela zgrade. Ovo se odnosi na slučaj snimanja s pločnika.

Kod primjene nagnutih osi snimanja i visokog formata snimaka postoji ograničenje mogućnosti kartiranja stereopara uvjetovano zahvatnim kutem periferne zrake u stereoinstrumentu. Maksimalni nagib periferne zrake za stereoinstrumente I vrste, gdje se jedino mogu restituirati kosi snimci, iznosi do  $50^{\circ}$ . Ovo znači da se kod uskih ulica, kod kojih je omjer visine strehe prema širini ulice veći od 1, kartiranje ne može izvesti za čitav stereopar, iako se može većim nagibom osi snimanja snimiti čitava fasada.

Ako se snima fototeodolitom UMK Zeiss i širokim formatom snimka, to će već kod nagiba osi snimanja od  $15^{\circ}$  periferna zraka imati nagib od  $50^{\circ}$  (sl. 1.). Veći nagib osi snimanja ili primjena visokog formata za slučaj snimanja sa pločnika ne bi imao smisla.

Ovakvi slučajevi pojavljuju se kod ulica gdje je omjer širine ulice » $\hat{S}$ « prema visini strehe » $h$ « manji od  $1 : 1.2$ , tj.:

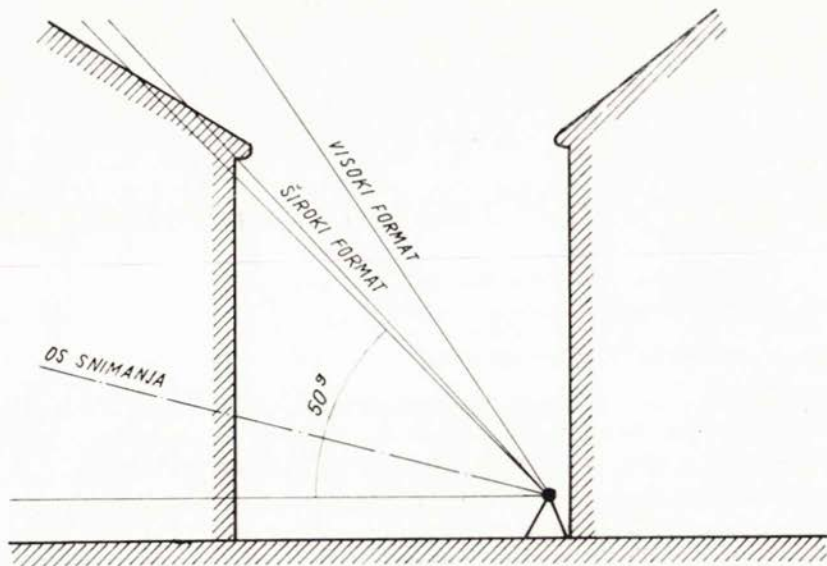
$$\hat{S} : h = 1 : 1.2$$

Nameće se potreba za snimanjem s povišenim snimalištem. Snimalište u košari dizalica ili na skeli, posebno napravljeno za tu svrhu, nesigurno je zbog vibracije, a i prilično skupo. Čvrste i pogodne položaje za horizontalnu bazu u visini I ili II kata, uz uvjet da se snimališta dogledaju, teško je naći (dugački balkoni). Prisiljeni smo stoga da koristimo vertikalnu bazu, iako se i u ovom slučaju snimališta u pravilu ne dogledaju. U ovom slučaju nedogledanje je manje osjetljivo nego kod horizontalne baze.

U praksi nema većih iskustava primjene vertikalne baze niti je teoretski dovoljno razrađen postupak za indirektno određivanje elemenata vanjske orientacije. Za našu praksu bit će sigurno od koristi da se ovdje iznese metoda koja se primjenjuje u Zavodu za fotogrametriju Geodetskog fakulteta u Zagrebu.

Adresa autora: Doc. Krunoslav Šmit, Zagreb, Geodetski fakultet, Kačićeva 26

\* U ovom radu objavljaju se rezultati istraživanja što ih financira Republička zajednica za znanstveni rad SRH.



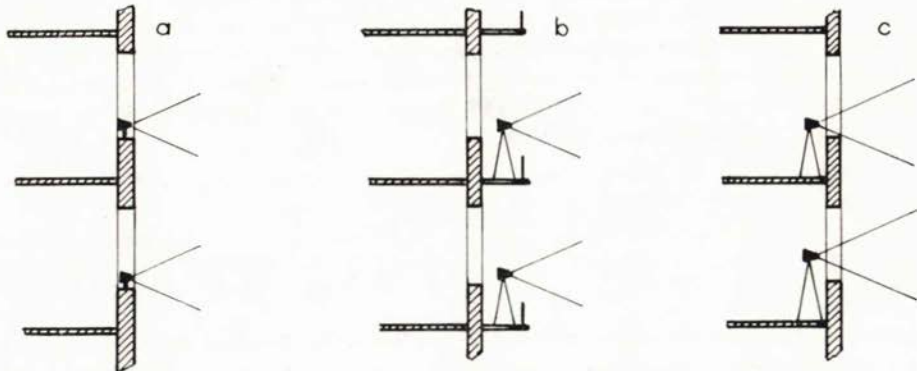
Sl. 1.

#### *Postavljanje vertikalne baze.*

Vertikalna baza može se postaviti na tri različita mesta:

- na pragu prozora
- na balkonu
- na parketu sobe

Srednja visinska razlika između katova iznosi oko 3 m, što za snimanje uskih ulica od 10 do 15 m širine predstavlja dobro odabranu veličinu baze snimanja. Ona se može mijenjati za male iznose (do 0,50 m), ako se snima sa stativa. U slučaju da je moguće postaviti bazu tako da snimališta budu strogog



Sl. 2.

vertikalni, pod viskom, nema problema za daljnju obradu takvog stereopara. Prilikom snimanja potrebno je uzeti orientaciju sa oba snimališta na istu orientacionu točku i tako odrediti smjer osi snimanja. U ovom slučaju ne postoje komponente baze  $b_y$  i  $b_z$ . Međutim, ovakve slučajeve u praksi možemo ostvariti vrlo rijetko (nedovršena novogradnja, ruševina). Prema tome mora se ili prisiliti, na temelju mjerjenja indirektnim putem, da snimališta budu u istoj vertikali, ili da se snimanje izvede tada kada se snimališta nađu u približno istoj vertikali. Odstupanje jednog snimališta prema vertikali kroz drugo snimalište odredi se u birou na temelju podataka mjerjenja horizontalnih kuteva.

Ovdje treba napomenuti da se terenski radovi uglavnom obavljaju po stonima i da se tom prilikom mogu pojaviti nepredviđene poteškoće. Zbog ovih okolnosti rad na snimanju i izmjeri mora biti ekspeditivan i u jednom navratu. Zato je bolje postaviti bazu približno u vertikali.

Približno postavljanje baze u vertikali omogućeno je građevinskom izvedbom objekta, jer su prozori gotovo uvijek projektirani i izvedeni jedan ispod drugoga. Neophodnim mjerjenjem od rubova prozora može se bez ikakvih poteškoća uspostaviti približna vertikala sa odstupanjem do  $\pm 0,05$  m. Uz ovakvo maksimalno odstupanje obrađen je u dalnjem izlaganju računski postupak koji osigurava točnost određivanja međusobnog tlocrtog pomaka snimališta ispod veličine od  $\pm 1,00$  mm. Pri tome se mora postići točnost mjerjenja horizontalnih kuteva ispod  $\pm 3''$ .

Koristimo, dakle, mogućnost, kao što je obrađeno u [1], da se za potrebe orientacije i kartiranja kosih snimaka arhitektura, ne određuju koordinate snimališta već njihov međusobni odnos s obzirom na os snimanja. Za razliku od [1] ovdje se elementi relativne i apsolutne orientacije računaju i nanose u instrumentu.

Sav rad na terenu usmjeren je po opsegu i točnosti tako da se postigne točnost u određivanju elemenata relativne i apsolutne orientacije koja će zadovoljiti daljnju obradu u stereoinstrumentu. Predložena računska obrada nije u geodetskoj praksi uobičajena, pa se stoga u prilogu daje obrađeni primjer.

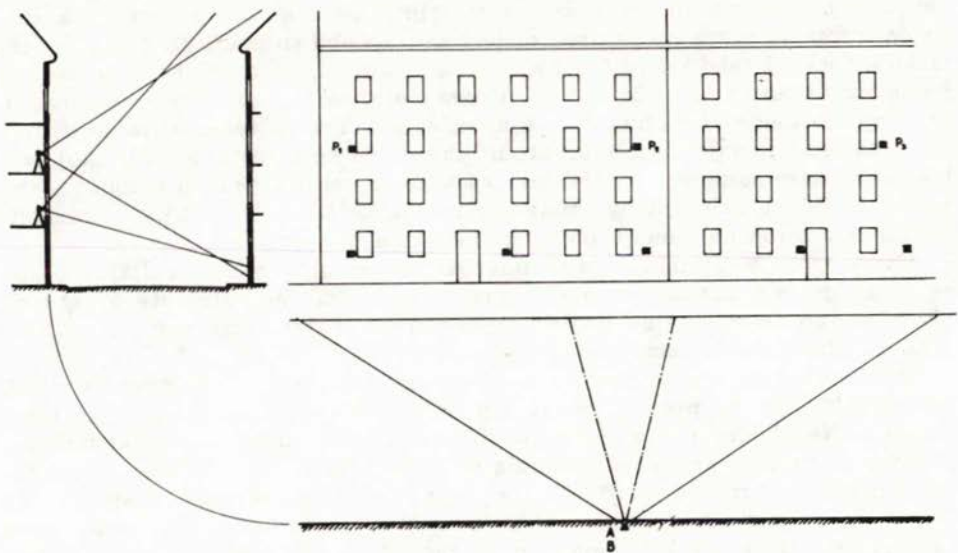
#### *Snimanje fototeodolitom, postavljanje i opažanje orientacionih točaka*

Ako je fasada šira od zahvata stereopara, treba postavljati snimališta tako da se snima sa dva stereopara — (kosi i konvergentni stereoparovi). Raspored orientacionih točaka prikazan je na sl. 3. Bitno je postaviti orientacione točke  $P_1$ ,  $P_2$  i  $P_3$  tako da udaljenost  $P_1 - P_2$  i  $P_2 - P_3$  bude veća od širine ulice i da se točka  $P_2$  nalazi u blizini okomice baćene od snimališta na projekcionu ravninu objekta snimanja. Ove točke najbolje je postaviti na prikladno mjesto za mjerjenje duljina između njih i što bliže pojusu sredine modela. Donje točke postave se gušće tako da se barem tri preslikaju u stereoparu. Gornje snimalište označi se »A«, a donje sa »B«.

Za oznaku orientacione točke uzima se kvadratični signal  $5 \times 5$  cm nacrtan na mokom papiru i zalipljen uz ivicu prozora.

U slučaju snimanja samo jednog stereopara raspored točaka  $P_1$ ,  $P_2$  i  $P_3$  ostaje isti s time da točke  $P_1$  i  $P_3$  neće biti stereoskopski obuhvaćene (preslikane) na stereopar. Donje orientacione točke redovito se odrede visinski geometrijskim nivelmanom.

Mogu se koristiti sve mogućnosti orientacije osi snimanja prema bazi snimanja kao i kod horizontalnih baza. U slučaju snimanja širokim formatom i



Sl. 3.

UMK nagib osi kosih snimaka ne smije biti veći od  $15 = 16,67^{\circ}$ . Prilikom do-djelivanja konvergencije treba paziti da ona ne pređe iznos od  $15^{\circ}$ . Ovo znači da će kod upotrebe fototeodolita UMK jedan snimak biti za  $15^{\circ}$  nagnut, a drugi će biti horizontalan. Kod većih konvergencija (zbog perspektivnih razlika) restitutor ima poteškoća prilikom kartiranja.

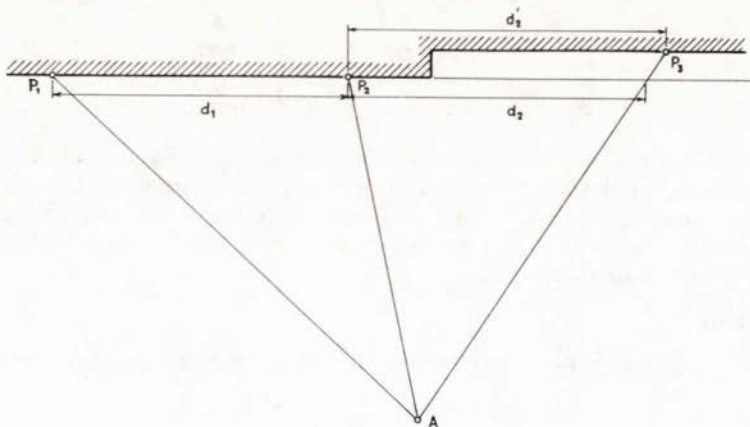
Za snimanje detalja i kod zahtjeva za krupnijim mjerilom snimanja upotrebljava se fototeodolit Photheo Zeiss  $13 \times 18$ . U ovom slučaju ne može se dodjeliti konvergencija ali se pomicanjem objektiva može postići isti efekt.

Istim fototeodolitom, adaptiranim za snimanje visokim formatom [2], mogu se zauzeti po volji azimutalni zakretaj osi snimanja i konvergencija.

Prilikom snimanja mora se fototeodolitom izmjeriti kut od osi snimanja do jedne orientacione točke (najbolje  $P_2$ ). Ovo se postizava različito, što ovisi o konstrukciji fototeodolita. Kod UMK mora se registrirati (očitati i zapisati) stanje horizontalnog kruga nakon ekspozicije i pročitati horizontalni kut na točku  $P_2$ . Ovu operaciju je bolje obaviti prije vraćanja kazete na svoje mjesto. Prilikom upotrebe Photheo-a orientacionim uredajem mora biti uvizirana točka  $P_2$  u momentu ekspozicije i registrirano čitanje horizontalnog kruga. Prilikom snimanja adaptiranim Photheom prisiljeni smo ekspoziciju izvršiti onda kada je orientacionim uredajem uviziran markantan detalj. Taj detalj moramo zapamtiti ili bolje, u zapisniku načrtati, kako bi se prilikom mjerena horizontalnih kuteva ta točka opažala. Za računanje poprečnog nagiba  $\Omega$  treba uzeti u obzir položajni ekcentricitet orientacionog uređaja.

Mjerenje horizontalnih kuteva sa snimališta A i B prema orientacionim točkama  $P_1$ ,  $P_2$  i  $P_3$  treba opažati sekundnim teodolitom u jednom girusu ili dva ponavljanja. Potrebno je da se postigne veća točnost od  $\pm 3$  sec.

Duljine između orientacionih točaka mjere se direktno vrpcem i čitaju milimetri. U slučaju da se te duljine ne mogu direktno mjeriti postavlja se po-



Sl. 4.

moćna baza na pločniku za indirektno određivanje dužina. Uputno je pomoćnu bazu postaviti tako da se koristi za određivanje dužina u više stereoparova. Duljine između orientacionih točaka i snimališta ne mijere se jer je dovoljno ako se koriste približne vrijednosti dobivene računskim postupkom.

Snimanje se može izvršiti korištenjem samo jednog stativa. Ovo ujedno znači da nije vremenski uvjetovano snimanje stereopara, što se korisno može primijeniti onda kada nije moguće istodobno osigurati ulazak u oba stana, tj. doći do snimališta.

#### *Određivanje komponente baze $b_z$ i $b_y$*

Za određivanje komponenata baze koristimo mogućnost da se ne određuju koordinate snimališta i iz tih koordinata komponente baze, već se određuju koordinatne razlike kao komponente udaljenosti jednog snimališta od drugog. Ovako postavljeni zadatak dozvoljava da se prilikom izmjere i prilikom računanja uvedu neka pojednostavljenja. Ponajprije se prepostavi, iako to nije slučaj, da orientacione točke leže na pravcu  $P_1 — P_3$ . Odstupanje točke  $P_2$  od pravca  $P_1 — P_3$  uzrokuje pomak — krivo sračunati položaj snimališta — kad ovaj zadatak riješimo geodetskim određivanjem koordinata presjekom unazad (sl. 4.). Postavljenim uvjetom da snimališta moraju biti u približno istoj vertikali i da opažanja horizontalnih kuteva budu izvršena na istim orientacionim točkama, osigurava se da koordinate budu s obzirom na objekt snimanja pomaknute za isti iznos. Međusobna razlika u pomaku koordinata snimališta je zanemariva ukoliko je odstupanje točke  $P_2$  od pravca  $P_1 — P_3$  manje od  $\pm 0,05$  m, te ako su vertikale kroz snimališta maksimalno udaljene 0,10 m, a minimalna udaljenost snimališta do objekta je veća od 10 m.

U slučaju da je odstupanje točke  $P_2$  veće od  $\pm 0,05$  m, što može proizići iz tlocrta objekta, treba umjesto  $d_2$  uzeti u račun reducirani dužinu  $d_2'$  kao što je naznačeno na sl. 4.

Ishodište koordinatnog sistema nalazi se u točki  $P_2$ . U tom slučaju zadane koordinate orientacionih točaka imaju slijedeću vrijednost:

	y	x
P <sub>1</sub>	0,00	100,00
P <sub>2</sub>	d <sub>1</sub>	100,00
P <sub>3</sub>	d <sub>1</sub> + d <sub>2</sub>	100,00

Mjerene kuteve sa snimališta A označimo s  $\alpha_A$  i  $\beta_A$ . Za računanje presjeka unazad mogu se upotrebiti poznati obrasci za presjek unazad. Ukoliko posjedujemo programirajući elektronički računar đepnog ili stolnog formata najbolje je koristiti, kao u [3], za tu svrhu pripremljene Snelliusove formule za računanje presjeka unazad.

Računamo:

$$S_{12} = d_1 \quad S_{23} = d_2 \quad v_1^2 + v_1^2; \quad \gamma = v_1^2 - v_2^2$$

$$\mu/2 = 200 - (\alpha + \beta + \gamma) \frac{1}{2} = \frac{1}{2} (\varphi + \psi)$$

$$\tan \frac{1}{2}(\varphi - \psi) = \frac{m - 1}{m + 1} \cdot \tan \mu/2$$

$$m = \frac{b \cdot \sin \alpha}{d \cdot \sin \beta}$$

$$\varphi = \mu/2 + \frac{1}{2}(\varphi - \psi)$$

$$v_2^0 = v_1^2 + \varphi + \alpha \quad r = a \cdot \frac{\sin \varphi}{\sin \alpha} = S_{20}$$

$$Y_0 = r \cdot \sin v_2^0 + y_2$$

$$X_0 = r \cdot \cos v_2^0 + x_2$$

Računanje se izvodi neovisno za točku A i točku B. Iz koordinatne razlike  $\Delta y = y_A - y_B$  dobije se komponenta baze  $\Delta b_y$ . Koordinatna razlika  $\Delta_x = x_A - x_B$  određuju komponentu baze  $\Delta b_z$ . Komponentu baze  $b_x$  računamo na temelju mjerenih vertikalnih kuteva na točku P<sub>2</sub> i dužine snimalište — točka P<sub>2</sub>. Komponenta  $b_x$  može se direktno izmjeriti niveliranjem postavom sa dva stajališta na isti postav letve.

Nedostatak rješavanja ovog zadatka je u nedostatku vanjske i nutarnje kontrole računanja. Vanjsku kontrolu pomoću orijentiranih pravaca ne može se provesti, jer je tako postavljen zadatak. Radi nutarne kontrole može se zadatak dalje pojednostaviti i koristiti mogućnost neovisnog računanja dužine P<sub>2A</sub> i P<sub>2B</sub> iz dva trokuta (sl. 5.). U slučaju slaganja tih duljina izračunatih prema formulama (7) i (8) imamo garanciju da je računanje ispravno provedeno. Ovo pojednostavljenje može se provesti, jer su prepostavljene orijentacione točke u pravcu. (Ovim postupkom dobijemo koordinatne razlike snimališta po formulama (1) i (2), te korekciju sa svojim predznakom za poprečni nagib modela iz (3).

Ishodište koordinatnog sistema postavljeno je u točki P<sub>2</sub> slijedećim izrazima:

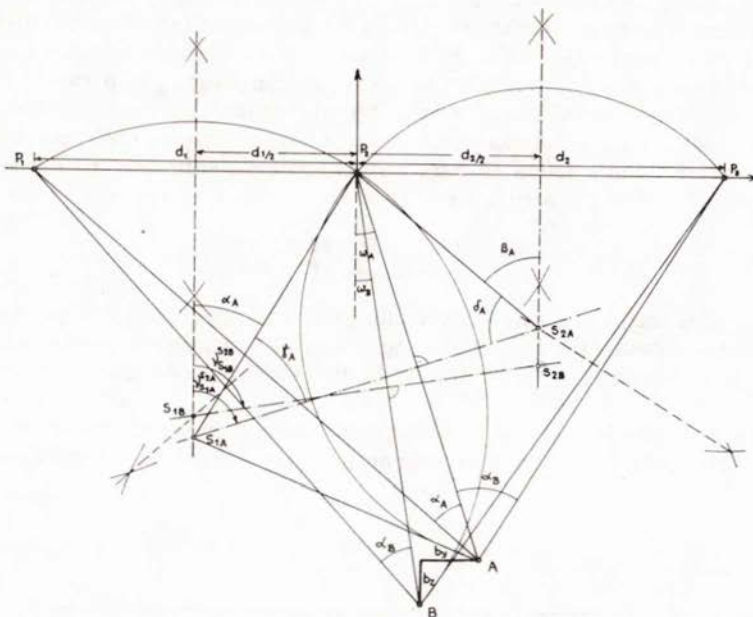
$$\Delta Y = y_A - y_B = \sin \omega_A \cdot \overline{p_{2A}} - \sin \omega_B \cdot \overline{p_{2B}} \quad (1)$$

$$\Delta X = x_A - x_B = -\cos \omega_A \cdot \overline{p_{2A}} + \cos \omega_B \cdot \overline{p_{2B}} \quad (2)$$

gdje su  $\omega_A$  i  $\omega_B$  kutevi u točki  $P_2$  između zrake prema snimalištu A odnosno B i okomice na ravninu projekcije. Ova veličina dobije se iz smjernog kuta spojnica središta opisanih kružnica za trokute  $P_1 P_2 A$  i  $P_2 P_3 A$ , odnosno  $P_2 P_1 B$  i  $P_2 P_3 B$  (sl. 5.).

$$\omega_A = 100 - v_{s1A}^{s2A} \quad \omega_B = 100 - v_{s1B}^{s2B} \quad (3)$$

Smjerne kuteve spojnica središta opisanih kružnica računamo na temelju izmjerjenih kuteva  $\alpha_{A,B}$  i  $\beta_{A,B}$  (sl. 5.) i izmjerjenih dužina, što je evidentno iz sl. 5.



Sl. 5.

$$\operatorname{tg} v_{s1A}^{s2A} = \frac{d_1 + d_2}{d_1 \operatorname{ctg} \alpha_A - d_2 \operatorname{ctg} \beta_A} \quad (4)$$

$$\operatorname{tg} v_{s1B}^{s2B} = \frac{d_1 + d_2}{d_1 \operatorname{ctg} \alpha_B + d_2 \operatorname{ctg} \beta_B} \quad (4a)$$

Kutevi  $\gamma_{A,B}$  i  $\delta_{A,B}$  mogu se prema sl. 5. izračunati na temelju mjernih kuteva  $\alpha_{A,B}$  i  $\beta_{A,B}$  te sračunatog smjernog kuta iz (4).

$$\gamma_A = v_{s1A}^{s2A} - \alpha_A; \quad \gamma_B = v_{s1A}^{s2A} - \beta_A \quad (5)$$

$$\delta_A = 200 - v_{s1A}^{s2A} - \beta_A; \quad \delta_B = 200 - v_{s1B}^{s2B} - \beta_B \quad (6)$$

Dužina  $P_2A$  i  $P_2B$  može se računati neovisno iz oba trokuta prema slijedećem izrazu

$$\overline{P_2A} = d_1 \frac{\sin \gamma_A}{\sin \alpha_A} = d_2 \frac{\sin \delta_A}{\sin \beta_A} \quad (7)$$

$$P_2B = d_1 = \frac{\sin \gamma_B}{\sin \alpha_B} = d_2 \frac{\sin \delta_B}{\sin \beta_B} \quad (8)$$

Ukoliko je napravljena bilo koja pogreška u računanju ili unašanju mjernih podataka, duljine  $P_2A$  i  $P_2B$  izračunate po (7) i (8), neće biti jednake.

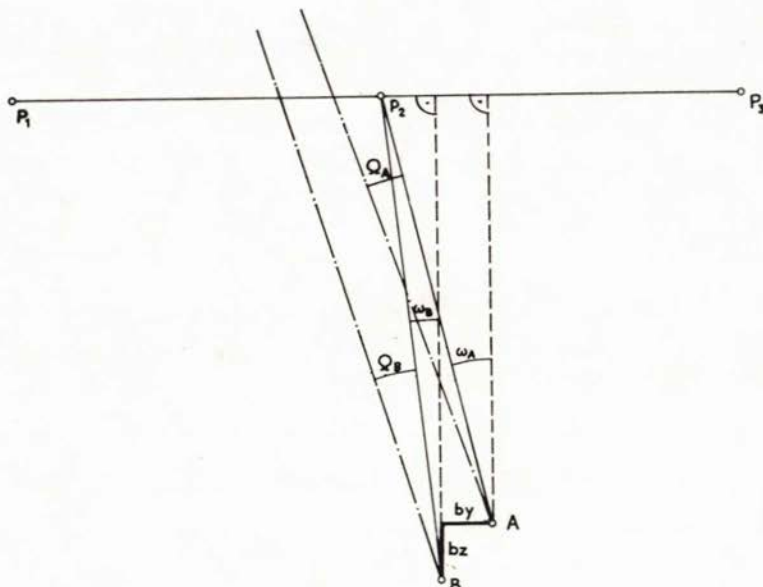
#### *Kutni elementi relativne i absolutne orientacije*

Kod snimanja fototeodolitom UMK registrira se stanje horizontalnog kruga koje je imala os snimanja prilikom eksponiranja. Istim repeticisionim postavom čitaju se i ostale orientacione točke u dva ponavljanja. U slučaju da je snimanje izvršeno Photeom moramo orientacionim uređajem uvizirati jednu orientacionu točku, najbolje točku  $P_2$  i registrirati to čitanje. Prilikom opažanja kuteva teodolitom mora se opažati i ta točka. Za snimanje adaptiranim Photeom [2] stavi se čitanje vertikalnog kruga na nul-postav i uvizira redovito neka markantna točka koju se opaža prilikom mjerjenja horizontalnih kuteva teodolitom. U sva tri slučaja treba se naći kut između osi snimanja i pravca snimališta — točka  $P_2$  (sl. 6.). To su kutevi  $\Omega_A$  i  $\Omega_B$ .

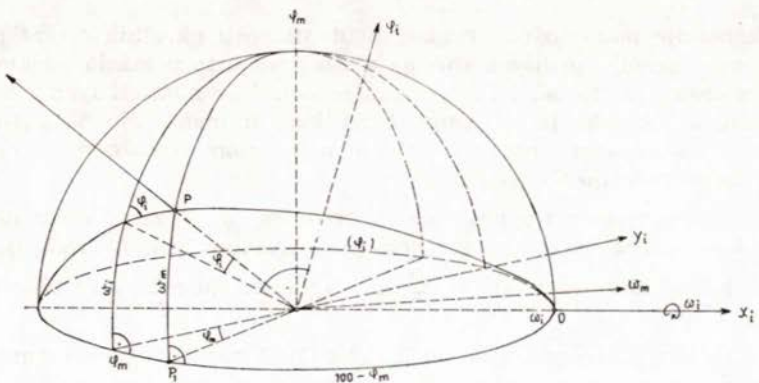
$$\begin{aligned}\Omega_A + \omega_A &= \Omega' \\ \Omega_B + \omega_B &= \Omega''\end{aligned}$$

$\omega_A$  i  $\omega_B$  preuzmu se iz računa koordinatnih razlika snimališta prema izvoru (3). Sračunate kuteve  $\Omega'$  i  $\Omega''$  zauzmemo u stereoinstrumentu prema predznaku s time da je nul-čitanje =  $100^\circ$ . Ovime bi teoretski bio određen poprečni nagib modela.

Kod UMK redovito je prisutna konvergencija samo jednog snimka od  $15^\circ = 16,67^\circ$ . Za slučaj snimanja Photeom konvergencije nema jer nema mogućnosti nano-

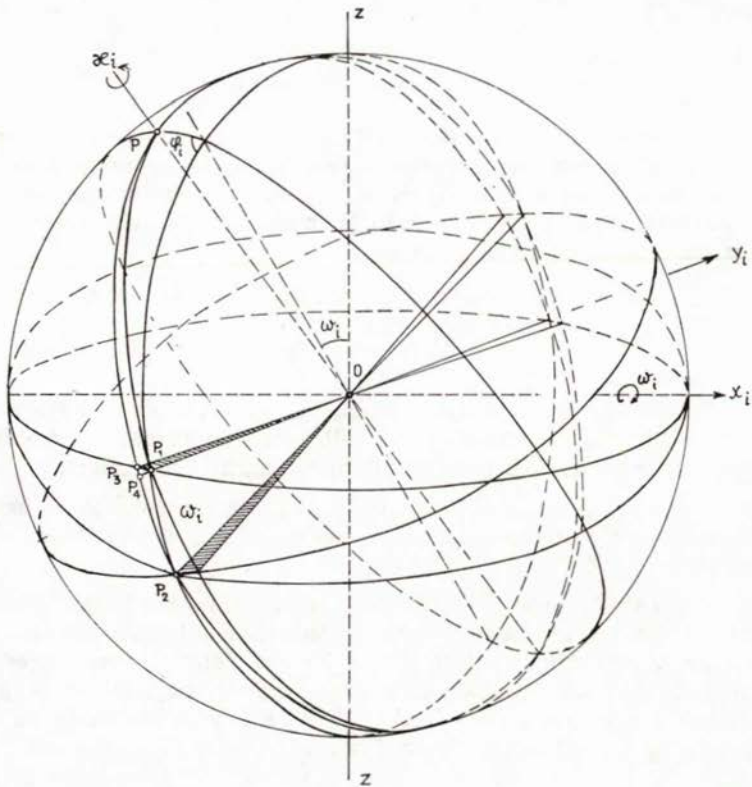


Sl. 6.



Sl. 7.

šenja, već pomičemo objektiv. Primjenom adaptiranog fototeodolita FT-m (2) iz mjerena vertikalnih kuteva na orientacionom uređaju fototeodolita i vertikalnih kuteva na teodolitu dobije se visinski kut  $\varphi$  između horizonta i osi snimanja, koji nanešemo u stereoinstrumentu. U slučaju da postoje istodobno poprečni nagib snimaka (oko baze) i konvergencija (rotacija oko horizontalnih osi kroz snimališta) mora se uvesti korekcija za oba elementa. Ako je jedan od elemenata u nul — postavu drugom elementu ne treba dodavati korekciju.



Sl. 8.

Ove korekcije moramo uvesti zbog neidentičnosti okretnih osi za poprečni nagib i konvergenciju prilikom snimanja i mjerena te položaja odgovarajućih osi u stereoinstrumentu (sl. 7). Korekciju je potrebno nanijeti i vrijednosti zakretaja snimaka  $\chi$ , iako je taj element prilikom snimanja bio na nul-položaju (vrhunjenje libele). Ova korekcija ovisi o nanesenom uzdužnom i poprečnom nagibu u stereoinstrumentu (sl. 8).

U tablici 1 dane su vrijednosti za sva tri elementa. One su računate prema sl. 7 i sl. 8 iz odnosa kuteva na sfernom pravokutnom trokutu, radijusa  $R = 1$ .

Mjerni kutevi na terenu oko osi  $\omega_n$  i  $\varphi_m$ . Naneseni kutevi u stereoinstrumentu oko osi  $\omega_i$  i  $\varphi_i$ .

Primarna os u stereoinstrumentu je  $\omega_i$  os. Kod nanesenog poprečnog nagiba sekundarna  $\varphi_i$  os mijenja svoj položaj u prostoru modela odnosno objekta snimanja. Ukoliko nema konvergencije, okretna os teodolita i u stereoinstrumentu se poklapaju i nema potrebe uvađati korekciju za poprečni nagib. Ovi odnosi mogu se zorno prikazati na sferi i iz sfernog trokuta  $P, P_1, O$  sračunati vrijednosti kuta  $\omega_i$  i  $\varphi_i$ . U stereoinstrumentu ne nanosimo kut ( $\varphi_m$ ) već nadopunu na 100, tj.  $\varphi_n = 100 - \varphi_m$ . Prema tome dobijemo iz (8) i (9) po Naiparovom pravilu vrijednost za  $\omega_i$  i  $\varphi_i$ , koju se mora nanijeti u stereoinstrumentu:

iz trokuta  $OPP_1 = \tan \omega_i = \tan \omega_m \cdot \frac{1}{\sin(\varphi_m)}$ , kako je  $(\varphi_m) = 100 - \varphi_m$  proizlazi:

$$\tan \omega_i = \tan \omega_m \cdot \frac{1}{\cos \varphi_m} \quad (9)$$

$$\begin{aligned} \cos(\varphi_i) &= \cos(\varphi_m) \cdot \cos \omega_m \\ \sin \varphi_i &= \sin \varphi_m \cdot \cos \omega_n \end{aligned} \quad (10)$$

Nakon zauzimanja vrijednosti  $\omega_i$  i  $\varphi_i$  u stereoinstrumentu mora se sračunati vrijednost za položaj zakretanja snimka  $\chi_i$ . Os rotacije  $\chi$  kao tercijalna ovisi o vrijednosti na primarnoj osi  $\omega_i$  i položaju sekundarne osi  $\varphi_i$  (sl. 8.). Iz pravokutnog sfernog trokuta  $P, P_1, P_4$  može se postaviti relacija (10), iz koje se izračuna vrijednost zakretaja snimaka.

$$z \ P_1 \ P_2 \ P_3 \quad \tan \chi_1 = \sin \omega_i \tan \varphi_i \quad \text{iz } P_1 \ P_2 \ P_4 \quad \tan \chi_2 = \tan \chi_1 \cdot \cos \varphi_i = \sin \omega_i \tan \varphi_i \cos \varphi_i$$

$$\text{iz } P, P_1, P_4 \quad \tan \chi_i = \tan \chi_2 \cdot \frac{1}{\cos \omega_i} = \tan \omega_i \sin \varphi_i \quad (11)$$

Zauzimanjem vrijednosti  $\omega_i$ ,  $\varphi_i$  i  $\chi_i$  za svaki snimak, te nanošenjem  $b_x$ ,  $b_y$  i  $b_z$  u mjerilu modela ne bi smjelo biti transverzalne paralakse. Ukoliko ona postoji, treba grešku prvo tražiti u računatim veličinama.

Tablica 1 primjenjuje se i kod snimanja horizontalnom bazom. Tu redovito dolazi samo vrijednost za  $\omega_m = 16,67^\circ = 15^\circ$  i za različite vrijednosti konvergencije  $\varphi_m$ .

Prilikom horizontacije modela kod horizontalne baze treba uvesti zajednički uzdužni nagib ukoliko objekt nije paralelan s bazom snimanja. Nakon postavljanja novih vrijednosti za  $\varphi'_i$  i  $\varphi''_i$  treba dobiti i nove vrijednosti za zakretaj snimaka  $\chi'_i$  i  $\chi''_i$ . Ukoliko se ovo ne napravi pojavit će se paralaksa koja je ovisna o absolutnoj razlici  $\varphi'_i$  i  $\varphi''_i$ , a osim toga vertikale na objektu neće biti paralelne s y osi instrumenta, što uzrokuje težu izvedbu kod restitucije.

Tablica 1

$\frac{\varphi_m}{\omega_m}$	$\operatorname{tg} \omega_i = \operatorname{tg} \omega_m \cdot \frac{1}{\cos \varphi_m}$			$\sin \varphi_i = \sin \varphi_m \cdot \cos \omega_m$			$\operatorname{tg} \alpha_i = \operatorname{tg} \omega_i \cdot \sin \varphi_i$			
	2	4	6	8	10	12	14	16	16.67	
2°	2.000	2.004	2.010	2.016	2.025	2.036	2.049	2.065	2.070	$\omega_i$
	1.998	3.998	5.997	7.996	9.995	11.994	13.993	15.992	16.662	$\varphi_i$
	0.063	0.126	0.211	0.253	0.317	0.381	0.447	0.513	0.536	$\alpha_i$
4°	4.002	4.008	4.018	4.032	4.049	4.072	4.098	4.129	4.141	$\omega_i$
	1.996	3.992	5.988	7.984	9.979	11.976	13.972	15.968	16.636	$\varphi_i$
	0.126	0.251	0.378	0.505	0.633	0.763	0.983	1.026	1.071	$\alpha_i$
6°	6.003	6.012	6.026	6.047	6.074	6.107	6.147	6.193	6.210	$\omega_i$
	1.991	3.982	5.973	7.964	9.955	11.946	13.937	15.927	16.594	$\varphi_i$
	0.187	0.377	0.566	0.757	0.949	1.143	1.339	1.538	1.605	$\alpha_i$
8°	8.004	8.016	8.035	8.063	8.098	8.143	8.195	8.257	8.279	$\omega_i$
	1.984	3.968	5.952	7.936	9.920	11.904	13.887	15.871	16.536	$\varphi_i$
	0.251	0.502	0.754	1.008	1.263	1.522	1.783	2.048	2.138	$\alpha_i$
10°	10.005	10.019	10.004	10.078	10.122	10.177	10.242	10.319	10.347	$\omega_i$
	1.975	3.950	5.925	7.901	9.875	11.850	13.825	15.799	16.460	$\varphi_i$
	0.313	0.626	0.941	1.400	1.577	1.899	2.225	2.556	2.670	$\alpha_i$
12°	12.006	12.023	12.052	12.093	12.146	12.211	12.289	12.380	12.413	$\omega_i$
	1.964	3.929	5.893	7.857	9.821	11.785	13.748	15.711	16.368	$\varphi_i$
	0.375	0.750	1.127	1.507	1.889	2.275	2.665	3.061	3.194	$\alpha_i$
14°	14.007	14.027	14.060	14.108	14.169	14.244	14.334	14.439	14.477	$\omega_i$
	1.952	3.903	5.855	7.806	9.757	11.707	13.657	15.607	16.259	$\varphi_i$
	0.436	0.874	1.313	1.753	2.199	2.647	3.102	3.562	3.717	$\alpha_i$
16°	16.007	16.030	16.068	16.122	16.191	16.276	16.278	16.496	16.540	$\omega_i$
	1.937	3.874	5.810	7.747	9.686	11.618	13.553	15.487	16.135	$\varphi_i$
	0.497	0.996	1.496	1.999	2.508	3.018	3.535	4.059	4.237	$\alpha_i$
16.67°	16.668	16.701	16.740	16.796	16.868	16.956	17.062	17.185	17.230	$\omega_i$
	1.932	3.863	5.795	7.726	9.656	11.586	13.515	15.443	16.089	$\varphi_i$
	0.517	1.037	1.557	2.081	2.609	3.141	3.680	4.225	4.410	$\alpha_i$

## LITERATURA

- [1] BRAUM, »Relativna orijentacija konvergentnih i kosih fotogrametrijskih snimaka arhitekture«. Geodetski Fakultet, Zbornik radova, publikacija br. 11, Zagreb 1975.
- [2] DONASSY, »Adaptacija fototeodolita Photoe 19/1318 Carl Zeiss Jena za snimanje s vertikalnim formatom«. Geodetski list, Zagreb, br. 10—12/1965.
- [3] T. H. WIEN, »Geowissenschaftliche Mitteilungen«. Heft 4, Wien 1974.

## SAŽETAK

U članku je opisana primjena vertikalnih baza za fotogrametrijsko snimanje fasada u uskim ulicama upotrebom fototeodolita UMK i Photoe 19/1318 - Zeiss, Jena. Komponente baze  $b_z$  i  $b_y$  ne mjere se direktno već se dobivaju iz terenskog mjerjenja horizontalnih kutova na jednom i drugom snimalištu, prema unaprijed raspoređenim orijentacionim točkama. Izvedeni su izrazi za vrijednost uzdužnog i poprečnog nagiba osi snimanja obzirom na razliku koja nastaje rotacijom primarnih osi instrumenta. Te vrijednosti su tabelarno napisane na tabeli 1. Potrebno je, ukoliko nisu mjerene vrijednosti za  $\omega_n$  i  $\varphi_m$  okrugle na  $2^g$ , linearnom interpolacijom odrediti vrijednost za  $\omega_i$ ,  $\varphi_i$  i  $x_i$ , ili pomoću električnog računara iz izraza ispisanih u glavi tabele.

## ZUSAMMENFASSUNG

Im Aufsatz ist die Anwendung der vertikalen Basen in der photogrammetrischen Aufnahme der Fassaden in engen Strassen mit dem Phototheodolit UMK und Photoeo 19/1318 Carl Zeiss JENA dargestellt. Die Basiskomponenten  $b_z$  und  $b_y$  werden nicht unmittelbar gemessen, sondern aufgrund der Messungen der horizontalen Winkel von den beiden aufnahmestellen aus nach den im voraus verteilten Passpunkten bestimmt. Es werden Ausdrücke für die Werte der Längs- und Querneigung der Aufnahmearchse abgeleitet, die den Unterschied in der Reihenfolge der Rotationsachsen beim Phototheodolit und dem Auswertegerät berücksichtigen. Diese Werte sind in der Tab. 1 untergebracht. Wenn die Werte für  $\omega_m$  und  $\varphi_m$  nicht auf  $2^g$  rund gemessen sind, ist es notwendig die Werte  $\omega_i$ ,  $\varphi_i$  und  $x_i$  linear zu interpolieren oder mit Hilfe eines Rechenautomats nach den im Kopf der Tabelle aufgeschriebenen Ausdrücken zu berechnen.